

分散処理網における遅延解釈

岩手大・工・情報 吉岡 良雄

(Yoshio Yoshioka)

1. まえがき

計算機網などの分散処理網は、待ち行列網として解釈されている。このような網の遅延解釈は、各ノードでのメッセージやパケットの経路決定（ルーティング）が、非常に大きな要因となる。ここでは、分散処理網について、種々のルーティングを考えた遅延解釈手法を提示する。

2. 分散処理網の設定とモデル化

分散処理網は、一般的に図1に示されるようになる。ここで、 i_0 は源ノードであり、目的地ノードが j_0 のパケットが単位時間に網外から流入するパケット数を示す。また、各回線のトラヒックは、最適状態にあり、かつ網全体のスループットが最大にならと考へれば、単位時間に各回線に流れるとトラヒックは、均一化される。このトラヒックを λ^* とおく。一

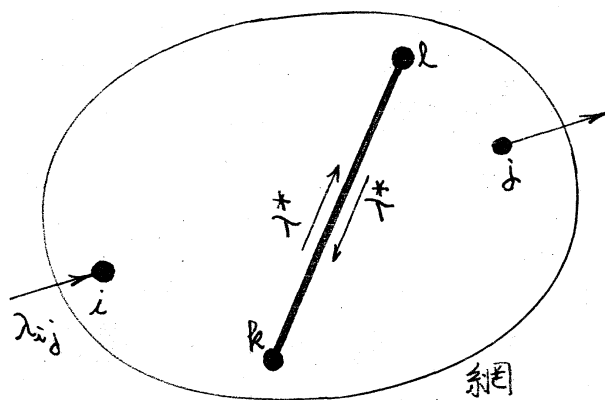


図1. 分散処理網

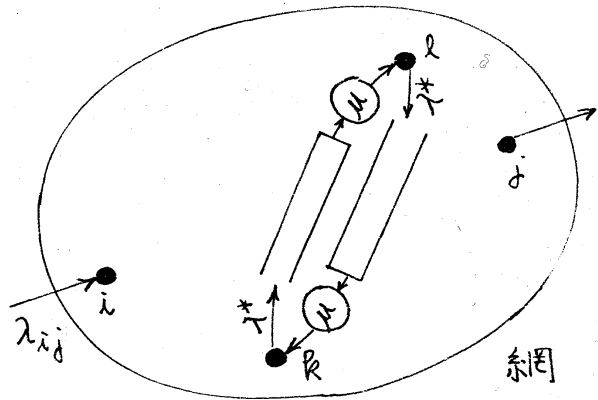


図2. 分散処理網のモデル化

方、このモデル化は、シヤクリンの待ち行列網として考える
こともできるが、ここでは図2のように考える。各回線は双
方向の待ち行列とし、その処理率を μ とおく。さらに、この
待ち行列は、議論展開を容易にするため、M/M/1待ち行列
を考える。また、 $P_{kl}(\lambda_{ij})$ を、 i から j へのパケットが
回線 $k-l$ (k から l へ) を通る確率とおけば、 λ^* は次式
で与えられる。

$$\lambda^* = \sum_i \sum_{\substack{j \\ j \neq i}} \lambda_{ij} \cdot P_{kl}(\lambda_{ij}) \quad (< \mu) \quad (1)$$

この確率 $P_{kl}(\lambda_{ij})$ は、ルーティングによつて決まる値である。

3. 遅延解析手法

まず、待ち行列システムにおける遅延分布について考える。遅延時間分布の密度関数を $d(\alpha)$ 、サービス時間分布の密度関数を $b(\alpha)$ 、サービス中に注目する客の到着時点からの残りのサービス時間分布の密度関数を $b^*(\alpha)$ とおく。系内客数 k に対する存在確率を S_k とおけば、次の関係式を得る。

$$d^*(\alpha) = \sum_{k=1}^{\infty} S_k \cdot \{ b^*(\alpha) \}^k \cdot \{ b^*(\alpha) \} + S_0 \cdot b^*(\alpha) \quad (2)$$

ここで、 $d^*(\alpha)$ 、 $b^*(\alpha)$ 、 $b^{**}(\alpha)$ は、 $d(\alpha)$ 、 $b(\alpha)$ 、 $b'(\alpha)$ のラプラス変換表示である。

M/M/1待ち行列システムでは、

$$S_k = (1 - \frac{\lambda}{\mu}) \cdot (\frac{\lambda}{\mu})^k \quad (3)$$

$$b^*(\alpha) = b^{**}(\alpha) = \frac{\mu}{\alpha + \mu} \quad (4)$$

であるから、 $d^*(\alpha)$ は 次式で与えられる。

$$d^*(\alpha) = \frac{(\mu - \lambda)}{\alpha + (\mu - \lambda)} \quad (5)$$

これをラプラス逆変換すれば、次式となる。

$$d(x) = (\mu - \lambda) e^{-(\mu - \lambda)x} \quad (6)$$

この結果を利用して、分散処理網における遅延分布を考える。ルーティング手法には種々考えられるが、ここでは遅延時間最小を考慮した場合(3.1)、固定ルーティングの場合(3.2)、電気回路対応による場合(3.3)、その他(3.4)について、その遅延時間の解析を行う。

3.1 遅延時間最小を考慮した場合

分散処理網における網内経路は、図3に示されるようになるであろう。図において、経路mが r_m ステップからなるとする。するとすれば、その遅延時間分布 $D_{ij}^{(r_m)}(x)$ は、 r_m 次のアラン分布となり、その密度関数 $d_{ij}^{(r_m)}(x)$ は、次式で与えられる。

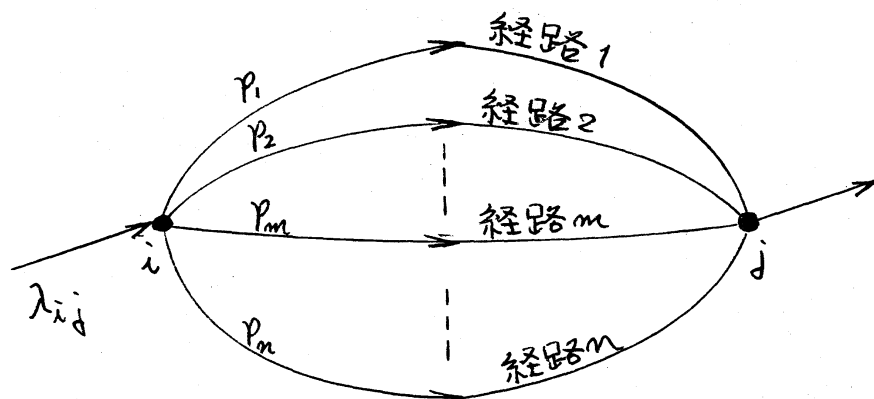


図3 網内経路

$$d_{ij}^{(r_m)}(x) = \frac{(\mu - \lambda^*)^{r_m}}{(r_m - 1)!} \cdot x^{r_m - 1} \cdot e^{-(\mu - \lambda^*)x} \quad (7)$$

従って、 i から j への n 衝突の遅延時間分布 $D_{ij}(z)$ の密度関数 $d_{ij}(z)$ は、次式で与えられる。

$$d_{ij}(z) = \sum_{m=1}^n d_{ij}^{(r_m)}(z) \cdot \prod_{\substack{s=1 \\ s \neq m}}^n [1 - D_{ij}^{(r_s)}(z)] \quad (8)$$

また、各経路を通過する確率 p_1, p_2, \dots, p_m は、次式となる。

$$p_m = \int_0^\infty d_{ij}^{(r_m)}(x) \cdot \prod_{\substack{s=1 \\ s \neq m}}^n [1 - D_{ij}^{(r_s)}(x)] dx \quad (9)$$

上記の議論を完全グラフに適用してみよう。

網が完全グラフの場合、経路は種々考えられるが、議論を簡単にするため、3ステップ以上の経路を考えないものとする。このとき、経路は図4に示されるようになる。従って、密度関数 $d_{ij}(z)$ 、平均遅延時間 \bar{x} および確率 $(p_1, p_2, \dots, p_{N-1})$ は、それぞれ次式で与えられる。

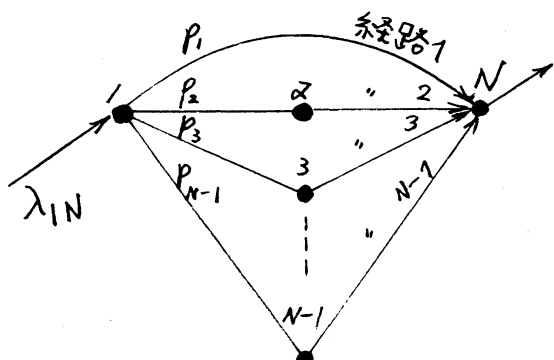
$$d_{ij}(z) = [p_1 + (N-2)p_2(\mu - \lambda^*)z] (\mu - \lambda^*) e^{-(\mu - \lambda^*)z} \quad (10)$$

$$\bar{z} = [p_1 + 2(N-2)p_2] \frac{1}{\mu - \lambda^*} \quad (11)$$

$$\left\{ \begin{array}{l} p_1 = \int_0^\infty d_{ij}^{(1)}(x) [1 - D_{ij}^{(2)}(x)]^{N-2} dx \\ = \sum_{j=1}^{N-1} \frac{(N-2)!}{(N-1)^{N-j-1} \cdot j!} \\ p_2 = p_3 = \dots = p_{N-1} = \frac{1}{N-2} (1 - p_1) \end{array} \right. \quad (12)$$

また、ノード数 N に対して、式(11)を求めれば、表1のようになる。

表1. 完全グラフの場合の確率

図4. 完全グラフの場合の
経路

	p_1	$p_2 = p_3 = \dots = p_{N-1}$
3	$\frac{3}{4}$	$\frac{1}{4}$
4	$\frac{17}{27}$	$\frac{5}{27}$
5	$\frac{71}{128}$	$\frac{19}{128}$
6	$\frac{1569}{3125}$	$\frac{389}{3125}$
7	$\frac{2157}{5832}$	$\frac{735}{5832}$
8	$\frac{355081}{823543}$	$\frac{78077}{823543}$

3.2 固定ルーティングの場合

データフローのように処理順序が固定されている場合、データの経路は固定である。従って、図3に示す確率 p_1, p_2, \dots, p_m は固定であり、密度関数 $d_{ij}(z)$ およびその平均 \bar{z} は次式で与えられる。

$$d_{ij}(z) = \sum_{m=1}^m p_m \cdot d_{ij}^{(P_m)}(z) \quad (13)$$

$$\bar{z} = \sum_{m=1}^m p_m \cdot \frac{\gamma_m}{\mu - \lambda^*} \quad (14)$$

3.3 電気回路網対応の場合

電気回路は、非常に効率よく電流が流れしており、その理論もまとま、た美しい形になっている。従って、分散処理網を電気回路網に対応して考えることができれば、非常に考え易くなる。しかしながら、との対応関係は正しく行われなければならぬ。文献[2]では、表2に示す関係を用いている。詳細については、文献[2]を参照されたい。また、情報の量 Q を $\lambda_{ij} \cdot P_{kl}(\lambda_{ij})$ と置換すれば、新たな対応関係が得られる。

一方、計算機網の解析には、ハマーと呼ばれる評価量が用いられている。この物理的意味を持つ行列システムと電気回

表2 分散処理網と電気回路網との対応関係

分散処理網	\longleftrightarrow	電気回路網
遅延時間 T	\longleftrightarrow	電圧 V
情報の量 Q	\longleftrightarrow	電流 I
実効速度 v^*	\longleftrightarrow	コンダクタンス G
損失 QT	\longleftrightarrow	電力 P

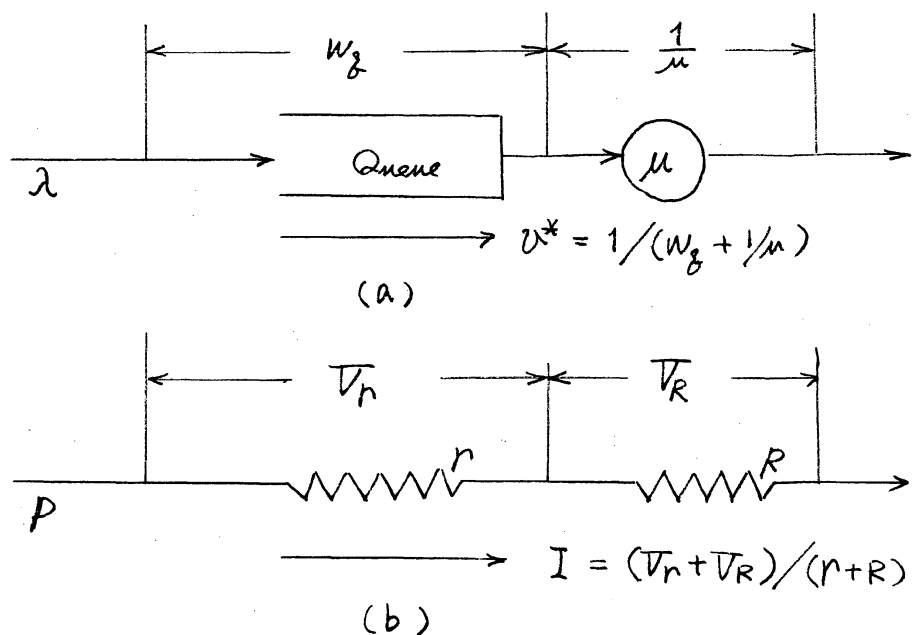


図5 待ち行列 (a) と電気回路 (b) との対応関係。

路との対応関係を示すならば、図5および表3のようになる^[3]。従つ2、図3の経路を図6に示すような電気回路を考えられ、次の関係式を得る。

表3 待ち行列と電気回路の対応関係

待ち行列	\longleftrightarrow	電気回路
到着率 λ	\longleftrightarrow	電力 P
入人の処理時間 $\lambda \frac{1}{\mu}$	\longleftrightarrow	R の 電圧 V_R
入人の待ち時間 λW_g	\longleftrightarrow	r の 電圧 V_r
実効速度 μ^*	\longleftrightarrow	電流 I
$\lambda^0 - \lambda \frac{1}{\mu} \mu^*$	\longleftrightarrow	有効電力 $V_R I$

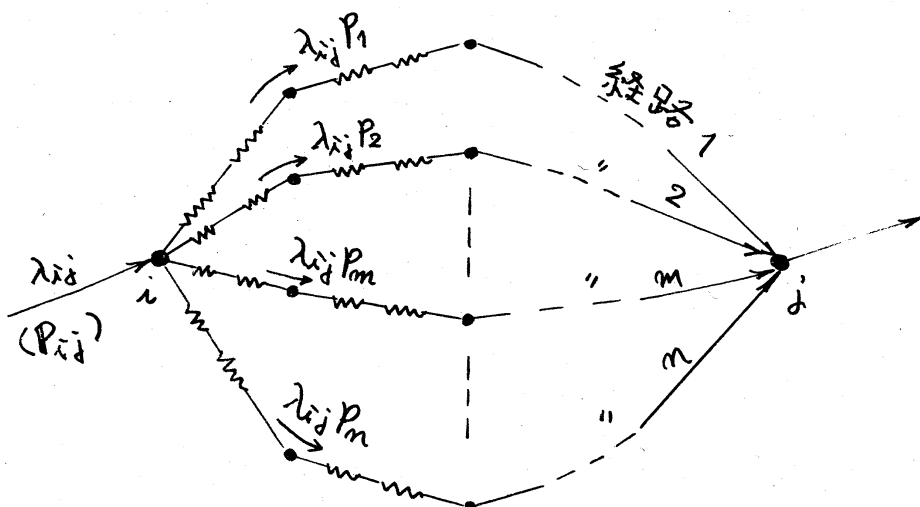


図6 分散処理網を電気回路網に対応して考えた場合

$$\begin{aligned} \lambda_{ij} P_1 R_1 (W_g + \frac{1}{\mu}) &= \lambda_{ij} P_2 R_2 (W_g + \frac{1}{\mu}) = \dots \\ &= \lambda_{ij} P_m R_m (W_g + \frac{1}{\mu}) = \dots = \lambda_{ij} P_m R_m (W_g + \frac{1}{\mu}) \quad (15) \end{aligned}$$

これから次式を得る。

$$P_1 R_1 = P_2 R_2 = \dots = P_m R_m = \dots = P_m R_m \quad (16)$$

さらに、 $P_1 + P_2 + \dots + P_m = 1$ から、次式が得られる。

$$P_m = \frac{1}{r_m} / \left(\frac{1}{r_1} + \frac{1}{r_2} + \dots + \frac{1}{r_m} + \dots + \frac{1}{r_n} \right) \quad (17)$$

ただし、 r_m は、経路 m のステップ数である。

また、網全体で消費する電力は、回線容量が決められていても固定とおき、網全体に流入する電力ができるだけ大きくなるように確率 P_m を決めれば、不要な経路がなくなる。具体的には、各回線において式 (1) の λ^* を固定として、 λ^* をできるだけ大きくするようすればよい。例えば、図 7 に示すようなノード数 4 からなる網を考えた場合、1 回線の λ^* は、次式となる。ただし、 $\lambda_{ij} = \lambda$ (各 i, j について同じ) とおく。

$$\lambda^* = (P_1 + 4P_2 + 2P_3) \cdot \lambda \quad (\text{固定}) \quad (18)$$

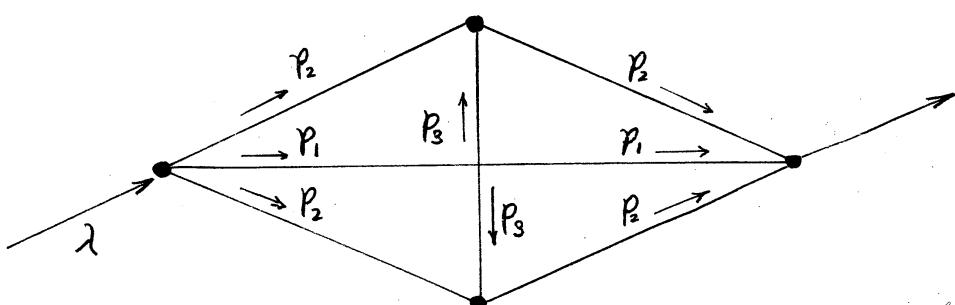


図 7. ノード数 4 からなる網

ここで、 $P_3 = 0$ とおけば、 λ は大きくなる。しかし、 λ が最大になるのは $P_1 = 1, P_2 = P_3 = 0$ のときである。分散処理網を考えているから、この場合を考える必要はないと思う。

この場合の遅延時間分布および平均遅延時間は、式(13)および(14)で与えられる。

3.4 その他

3.3の方法は、計算機網などの設計において、非常に有用であると思われるが、実際の分散処理網では、3.3のような効率の良い流れは起こらないであろう。そこで、各ノードが独立に（他ノードから情報を得ずに）ルーティングを行う場合を考えみよう。この場合は、何處も同じ回線を通過するという状態があり、最悪の状態である。この場合の例として、具体的に完全グラフの網を取りあげ検討する。

完全グラフにおいて、任意のノード間(i, j)の経路は、図4のようにとることができます。そして、中継ノード k に110ケットが転送された場合、ノード間(i, j)の経路も、図4に示す経路となる。任意のノード間(i, j)の経路において、 i から j へ直接転送される確率を P_1 とおけば、 $P_2 = P_3 = \dots = P_{N-1} = (1-P_1)/(N-2)$ となり、遅延時間分布の密度関数および平均遅延時間は、それぞれ次式となる。

$$d_{ij}(z) = \sum_{k=0}^{\infty} (1-p_i)^k \cdot p_i \cdot d_{ij}^{(k+1)}(z) \quad (19)$$

$$\bar{z} = \sum_{k=0}^{\infty} \frac{k+1}{\mu - \lambda^*} (1-p_i)^k \cdot p_i = \frac{1}{p_i(\mu - \lambda^*)} \quad (20)$$

ここで、3.3の式 (17) を使用すれば、 $P_1 = 2/N$, $P_2 = P_3 = \dots = P_{N-1} = 1/N$ であるから、

$$\bar{z} = \frac{N}{2(\mu - \lambda^*)} \quad (21)$$

となる。3.3の方法を行った場合

$$\bar{z} = \frac{2(N-1)}{N(\mu - \lambda^*)} \quad (22)$$

であるから、 $N^2/4(N-1)$ 倍悪くなることが分かる。

また、式 (1) は、次式となる。ただし $\lambda_{ij} = \lambda$ (各 i, j について同じ) とおく。

$$\lambda^* = \frac{1}{p_i} \lambda = \frac{N}{2} \lambda \quad (23)$$

以上、ルーティングを考慮して、分散処理網の遅延を議論

した。なかでも、式(1)が具体的な形で与えられれば、各回線における最適化（待ち行列の最適化^[4]）を考えることによつて、網の設計ができる。従つて、分散処理網の設計という立場から、式(1)が容易に求められる3.3の電気回路網への対応による方法を提案する。

4.まとめ

分散処理網において、ルーティングを考慮してその遅延を議論した。この遅延解析においては、ルーティングが非常に大きな要因となり、困難な面がある。そこで、分散処理網を、効率よく電流が流れれる電気回路網に対応して考えることによつて、その遅延解析が容易に行える。従つて、電気回路網への対応による方法を提案する。

〔文献〕

- [1] B. W. Boehm and R. L. Mobley : "Adaptive routing techniques for distributed communications systems," IEEE, Trans. on Commun. COM-17, 3, pp. 340~349, (June 1969).

- [2] 吉岡, 中村, 佐藤: "電気回路網への対応による計算機網の構成," 信学論(A), J59-A, 10, pp. 816~822,

(昭51-10).

[3] 吉岡、中村、重井：“計算機網におけるパワーの物理的意味について”，“信学論(D)”，J65-D, 11, PP. 1459～1460, (昭57-11).

[4] 吉岡、中村、佐藤：“待ち行列の最適化について”，“信学論(B)”，J60-B, 8, PP. 590～591, (昭52-08).